

# 对计算药物吸收速率常数的 Wagner-Nelson 法的一点改进

周 怀 梧

(浙江医科大学药学系, 杭州)

在口服(或其他静脉外途径, 下同)给药的情况下, 多数药物的体内过程显示一室开放形模型(图1)的特征, 计算所给药物未经变化而到达体循环的速率——吸收速率(一般用一级速率常数 $K_a$ 表征), 最常用的方法是Wagner-Nelson法。

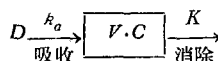


图1 一室开放形模型

( $D$ : 给药剂量;  $V$ : 表观分布容积;  $C$ : 在时刻 $t$ 的血药浓度;  $k_a$ 和 $K$ 分别为药物吸收和消除一级速率常数。)

下面是著名的Wagner-Nelson吸收方程<sup>[1,3]</sup>:

$$\frac{(X_a)_T}{V} = C_T + K \int_0^T C dt \quad (1)$$

式中 $(X_a)_T$ 表示在时间 $t=T$ 时, 由口服给药被吸收到体循环中去的药量;  $C_T$ 表示此时的血药浓度;  $V$ 、 $K$ 及 $C$ 的意义见图1下的说明。在(1)式中, 如 $T=\infty$ (即给药后经过充分长的时间)  $C_T$ 应为零, 得:

$$\frac{(X_a)_\infty}{V} = K \int_0^\infty C dt \quad (2)$$

式中 $(X_a)_\infty$ 表示最终所吸收的总药量。用(2)式除(1)式, 得到药物吸收分数(相对于最终所吸收的总药量):

$$\frac{(X_a)_T}{(X_a)_\infty} = \frac{C_T + K \int_0^T C dt}{K \int_0^\infty C dt} \quad (3)$$

考察药物未吸收的百分数, 即 $100 \left[ 1 - \frac{(X_a)_T}{(X_a)_\infty} \right]$ 对时间 $T$ 的半对数图; 若此散点图呈一直线散布, 该直线的斜率便是 $-k_a/2.303$ , 由此即可算得吸收速率常数 $k_a$ 。这就是通常所用的Wagner-Nelson法。现在, 对此法作一点改进, 可使计算较为简便。

不难推证\*下列等式成立:

$$\int_0^\infty C dt = \frac{FD}{VK} \quad (4)$$

和

$$C_T + K \int_0^T C dt = \frac{FD}{V} (1 - e^{-k_a T}) \quad (5)$$

式中  $F$  是相对于所给剂量  $D$  最终被吸收到体循环中去的吸收分数。由 (4) 式, 有:

$$\frac{FD}{V} = K \int_0^\infty C dt \quad (6)$$

代入 (5) 式, 得:

$$C_T + K \int_0^T C dt = K \int_0^\infty C dt \times (1 - e^{-k_a T}) \quad (7)$$

整理后, 有:

$$K \int_T^\infty C dt - C_T = K \int_0^\infty C dt \times e^{-k_a T} \quad (8)$$

两边取对数, 得:

$$\lg(K \int_T^\infty C dt - C_T) = \lg(K \int_0^\infty C dt) - \frac{k_a}{2.303} T \quad (9)$$

可见: 在半对数纸上,  $(K \int_T^\infty C dt - C_T)$  对  $T$  作图, 得一直线, 其斜率为  $-k_a/2.303$ 。由此即可求得  $k_a$ 。

方程 (9) 的推导与方程 (1) 无关。可是, 按 (9) 式计算  $k_a$  的步骤与 Wagner-Nelson 法相仿, 结果的精确度相同, 其优点在于比后者简便。且看下例。

例: 一个男性志愿者接受口服 3 g 剂量的氨基甲酸氯酚醚(Chlorphenesin Carbamate)的试验, 测得各时刻  $T$  的血清药物浓度  $C_T$  的数据见表 1。

表 1 用 Wagner-Nelson 法求  $k_a$  的计算步骤 ( $K=0.161/\text{hr}$ )

| (1)<br>$T(\text{hr})$ | (2)<br>$C_T(\mu\text{g}/\text{ml})$ | (3)<br>$\int_0^T C dt$ | (4)<br>$K \int_0^T C dt$ | (5)<br>$C_T + K \int_0^T C dt$ | (6)<br>$(X_a)_T / (X_a)_\infty$ | (7)<br>$100 \left[ 1 - \frac{(X_a)_T}{(X_a)_\infty} \right]$ |
|-----------------------|-------------------------------------|------------------------|--------------------------|--------------------------------|---------------------------------|--|
| 0                     | 0                                   | 0                      | 0                        | 0                              | 0                               | 100  |
| 1                     | 10.2                                | 5.10                   | 0.8211                   | 11.0211                        | 0.3764                          | 62.36  |
| 2                     | 19.3                                | 19.85                  | 3.1959                   | 22.4959                        | 0.7682                          | 23.18  |
| 3                     | 21.4                                | 40.20                  | 6.4722                   | 27.8722                        | 0.9518                          | 4.82   |
| 4                     | 17.7                                | 59.75                  | 9.6198                   | 27.3198                        |                                 |  |
| 5                     | 16.4                                | 76.80                  | 12.3648                  | 28.7648                        |                                 |  |
| 6                     | 13.8                                | 91.90                  | 14.7959                  | 28.5959                        |                                 |  |
| 8                     | 9.8                                 | 115.50                 | 18.5955                  | 28.3955                        |                                 |  |
| 10                    | 7.4                                 | 132.70                 | 21.3647                  | 28.7647                        |                                 |  |
| 12                    | 5.3                                 | 145.40                 | 23.4094                  | 28.7094                        |                                 |  |
| 15                    | 3.7                                 | 158.90                 | 25.5829                  | 29.2829                        |                                 |  |
| $\infty$              | 0                                   | 181.88                 | 29.2827                  | 29.2827                        |                                 |  |

用电子计算机拟合一个双指数方程, 求得药物消除速率常数  $K=0.161/\text{hr}$ , 吸收速率常数  $k_a=1.04/\text{hr}$ <sup>[2]</sup>。

现在, 分别用基于 (3) 式和 (9) 式的两种方法来计算  $k_a$  值, 有关计算步骤分别见表 1 和表 2。定积分  $\int_0^T C dt$  按梯形法则作近似计算, 但从最后一个采样时间至  $T=\infty$  的积分按

\* (4) 式见文献[3]第 36 页; (5) 式的推导见附录。

表 2 用改进法求  $k_a$  的计算步骤 ( $K=0.161/\text{hr}$ )

| (1)<br>$T(\text{hr})$ | (2)<br>$C_T(\mu\text{g}/\text{ml})$ | (3)<br>$\int_0^T C dt$ | (4)<br>$\int_T^\infty C dt$ | (5)<br>$K \int_T^\infty C dt$ | (6)<br>$K \int_T^\infty C dt - C_T$ |
|-----------------------|-------------------------------------|------------------------|-----------------------------|-------------------------------|-------------------------------------|
| 0                     | 0                                   | 0                      | 181.88                      | 29.2827                       | 29.2827                             |
| 1                     | 10.2                                | 5.10                   | 176.78                      | 28.4616                       | 18.2616                             |
| 2                     | 19.3                                | 19.85                  | 162.03                      | 26.0868                       | 6.7868                              |
| 3                     | 21.4                                | 40.20                  | 141.68                      | 22.8105                       | 1.4105                              |
| 4                     | 17.7                                | 59.75                  | 122.13                      |                               |                                     |
| 5                     | 16.4                                | 76.80                  | 105.08                      |                               |                                     |
| 6                     | 13.8                                | 91.90                  | 89.98                       |                               |                                     |
| 8                     | 9.8                                 | 115.50                 | 66.38                       |                               |                                     |
| 10                    | 7.4                                 | 132.70                 | 49.18                       |                               |                                     |
| 12                    | 5.3                                 | 145.40                 | 36.48                       |                               |                                     |
| 15                    | 3.7                                 | 158.90                 | 22.98                       |                               |                                     |
| $\infty$              | 0                                   | 181.88                 |                             |                               |                                     |

下列外推公式计算<sup>[3]</sup>:

$$\int_{T^*}^\infty C dt = \frac{C_{T^*}}{K} \quad (10)$$

式中  $T^*$  表示最后一个采样时间,  $C_{T^*}$  为相应的血药浓度。在本例,  $T^* = 15\text{hr}$ ,  $C_{T^*} = 3.7 \mu\text{g}/\text{ml}$ 。

此外, 计算定积分  $\int_T^\infty C dt$ , 利用了下列等式:

$$\int_T^\infty C dt = \int_0^\infty C dt - \int_0^T C dt \quad (11)$$

将表 1 第(7)列数据对  $T$  在半对数纸上作图, 并用最小二乘法拟合一条直线, 得直线斜率为  $-0.4381$ , 从而吸收速率常数  $k_a = 0.4381 \times 2.303 = 1.009/\text{hr}$ 。

将表 2 第(6)列数据对  $T$  在半对数纸上作图, 并用最小二乘法拟合一条直线, 得直线斜率为  $-0.4381$ , 从而也有:  $k_a = 1.009/\text{hr}$ 。

把表 2 与表 1 作一对照, 可见: 前三列完全相同; 从运算方法的角度来讲, 表 2 的第(5)、(6)列相当于表 1 的第(4)、(5)列; 表 2 的第(4)列数值, 系由第(3)列的最后一个值依次减去该列前头的各个值而得, 运算很简便, 而表 1 的第(6)列数值, 系由第(5)列各个值依次除以第(4)列的最后一个值而得, 运算较烦; 最后, 表 1 比表 2 多了第(7)列。因此, 两者比较起来, 用本文提出的方法较好。

## 附 录

文中(5)式的推导如下:

口服给药时, 一室模型、一级吸收和消除的血药浓度曲线方程为<sup>[3]</sup>:

$$C = \frac{k_a F D}{V(k_a - K)} (e^{-KT} - e^{-k_a T}) \quad (a)$$

当  $t=T$  时, 有:

$$C_T = \frac{k_a F D}{V(k_a - K)} (e^{-KT} - e^{-k_a T}) \quad (b)$$

而

$$\begin{aligned}
 K \int_0^T C dt &= K \int_0^T \frac{k_a F D}{V(k_a - K)} (e^{-Kt} - e^{-k_a t}) dt \\
 &= \frac{K k_a F D}{V(k_a - K)} \int_0^T (e^{-Kt} - e^{-k_a t}) dt \\
 &= \frac{K k_a F D}{V(k_a - K)} \left[ -\frac{e^{-Kt}}{K} + \frac{e^{-k_a t}}{k_a} \right]_0^T \\
 &= \frac{K k_a F D}{V(k_a - K)} \left( -\frac{e^{-KT}}{K} + \frac{e^{-k_a T}}{k_a} + \frac{1}{K} - \frac{1}{k_a} \right) \\
 &= \frac{k_a F D}{V(k_a - K)} \left( -e^{-KT} + \frac{K}{k_a} e^{-k_a T} + 1 - \frac{K}{k_a} \right)
 \end{aligned} \tag{c}$$

将(b)、(c)两式相加，即有：

$$\begin{aligned}
 C_T + K \int_0^T C dt &= \frac{k_a F D}{V(k_a - K)} \left( \frac{K}{k_a} e^{-k_a T} - e^{-k_a T} + \frac{k_a - K}{k_a} \right) \\
 &= \frac{k_a F D}{V(k_a - K)} \left( \frac{K - k_a}{k_a} e^{-k_a T} + \frac{k_a - K}{k_a} \right) \\
 &= \frac{F D}{V} (1 - e^{-k_a T}).
 \end{aligned}$$

### 参 考 文 献

- [1] Wagner J G, et al: *J Pharm Sci*, 52:610, 1963.
- [2] Forist, A A, et al: *ibid*, 60:1686, 1971.
- [3] Gibaldi M, et al: *Pharmacokinetics*, 130, 33, New York, 1975.

## AN IMPROVEMENT ON THE WAGNER-NELSON METHOD FOR COMPUTING DRUG ABSORPTION RATE CONSTANT

Zhou Huaiwu

(Department of Pharmacy, Medical College of Zhejiang, Hangzhou)

### ABSTRACT

For one-compartment open model, an equation for computing drug absorption rate constant ( $k_a$ ) is described [equation (9) in the text]. The derivation of the equation is independent of the Wagner-Nelson equation. However, the computational procedure of the  $k_a$  is similar to the Wagner-Nelson method, the accuracy, is the same, but the computation is simpler.